

Bit Quântico e Portas Quânticas na Esfera de Bloch

Visualização em Maple

Virginia S. Costa e Luiz M. Carvalho
Departamento de Matemática Aplicada - Instituto de Matemática e Estatística
Universidade do Estado do Rio de Janeiro

Modelo para um Bit Quântico e sua forma Polar

- O Bit Quântico (*q-bit*) é a menor unidade de informação para a Computação Quântica.
- O q-bit pode se apresentar nos estados

$$|0\rangle = \begin{bmatrix} 1 \\ 0 \end{bmatrix} \quad e \quad |1\rangle = \begin{bmatrix} 0 \\ 1 \end{bmatrix}$$

- E num estado que é a combinação linear (neste contexto, chamada de *superposição*) dos estados $|0\rangle$ e $|1\rangle$, isto é,

$$|\psi\rangle = \alpha|0\rangle + \beta|1\rangle \quad (1)$$

onde α e $\beta \in \mathbb{C}$ são chamados *amplitudes* e $|\psi\rangle \in \mathbb{C}^2(\mathbb{C})$.

- Porém, o processo de medida perturba inevitavelmente o estado do q-bit produzindo um colapso não-determinístico de $|\psi\rangle$ para $|0\rangle$ ou $|1\rangle$.
- Após uma medida, obtemos o $|0\rangle$ com probabilidade $|\alpha|^2$ ou $|1\rangle$ com probabilidade $|\beta|^2$.
- Sendo $|\alpha|^2$ e $|\beta|^2$ probabilidades, temos que

$$|\alpha|^2 + |\beta|^2 = 1 \quad (2)$$

e, conseqüentemente,

$$\|\psi\| = 1.$$

- Escrevendo $\alpha = a + ib$ e $\beta = c + id$, onde $a, b, c, d \in \mathbb{R}$, temos $|\alpha| = \sqrt{a^2 + b^2}$ e $|\beta| = \sqrt{c^2 + d^2}$, e como $|\alpha|^2 + |\beta|^2 = 1$, temos

$$a^2 + b^2 + c^2 + d^2 = 1. \quad (3)$$

- A partir da Eq. (3), interpretamos o q-bit como um vetor unitário $(a, b, c, d) \in \mathbb{R}^4$ e a esfera unitária S^3 de \mathbb{R}^4 como o lugar geométrico dos q-bits.
- Sabendo que as amplitudes α e β da Eq.(1) são números complexos, podemos expressá-las em coordenadas polares, isto é,

$$\alpha = |\alpha| e^{i \text{Arg}(\alpha)} \quad e \quad \beta = |\beta| e^{i \text{Arg}(\beta)},$$

onde $0 \leq \text{Arg}(z) < 2\pi$ é o argumento do complexo z e $|z|$ o seu módulo.

- Podemos, ainda, definir $\text{Arg}(\alpha) = \gamma$ e $\text{Arg}(\beta) = \gamma + \phi$, onde as operações entre ângulos devem ser consideradas em aritmética módulo 2π . Assim, temos

$$|\psi\rangle = |\alpha| e^{i\gamma} |0\rangle + |\beta| e^{i(\gamma+\phi)} |1\rangle.$$

- Sendo $|\alpha| \geq 0$, $|\beta| \geq 0$ e $|\alpha|^2 + |\beta|^2 = 1$, podemos definir ξ por meio das equações

$$\cos(\xi) = |\alpha| \quad e \quad \sin(\xi) = |\beta|,$$

onde $0 \leq \xi \leq \frac{\pi}{2}$.

- Fazendo $\theta = 2\xi$, temos

$$|\psi\rangle = e^{i\gamma} \left[\cos\left(\frac{\theta}{2}\right) |0\rangle + e^{i\phi} \sin\left(\frac{\theta}{2}\right) |1\rangle \right], \quad (4)$$

- Com

$$\theta = 2 \arccos(|\alpha|) = 2 \arcsin(|\beta|),$$

$$\phi = \text{Arg}(\beta) - \text{Arg}(\alpha),$$

$$\gamma = \text{Arg}(\alpha),$$

onde $\theta \in [0, \pi]$, $\phi \in [0, 2\pi]$ e $\gamma \in [0, 2\pi]$.

A Esfera de Bloch

- Note que, se tentarmos modificar o q-bit expresso pela Eq. (4) através de um operador unitário, o fator $e^{i\gamma}$ não se altera:

$$U|\psi\rangle = e^{i\gamma} U \left[\cos\left(\frac{\theta}{2}\right) |0\rangle + e^{i\phi} \sin\left(\frac{\theta}{2}\right) |1\rangle \right],$$

onde U é o operador unitário de 1 (um) q-bit (isto é, uma matriz unitária 2×2).

- Observe também que, o fator $e^{i\gamma}$ não altera a probabilidade de se obter $|0\rangle$ ou $|1\rangle$ no momento da medida, pois

$$|e^{i\gamma} \cos\left(\frac{\theta}{2}\right)| = |e^{i\gamma}| \left| \cos\left(\frac{\theta}{2}\right) \right| = \left| \cos\left(\frac{\theta}{2}\right) \right|,$$

assim como,

$$|e^{i(\gamma+\phi)} \cos\left(\frac{\theta}{2}\right)| = |e^{i\gamma}| |e^{i\phi} \cos\left(\frac{\theta}{2}\right)| = |e^{i\phi} \cos\left(\frac{\theta}{2}\right)|.$$

- Devido a essas propriedades, para fins de representação, podemos desprezar o fator $e^{i\gamma}$ (chamado *fator de fase global*) e escrever a Eq. (4) assim:

$$|\psi\rangle_B = \cos\left(\frac{\theta}{2}\right) |0\rangle + e^{i\phi} \sin\left(\frac{\theta}{2}\right) |1\rangle. \quad (5)$$

- Escrevendo

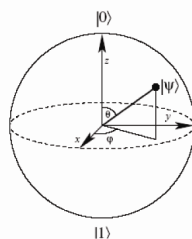
$$|\psi\rangle_B = \cos\left(\frac{\theta}{2}\right) |0\rangle + \cos(\phi) \sin\left(\frac{\theta}{2}\right) |1\rangle + i \sin(\phi) \sin\left(\frac{\theta}{2}\right) |1\rangle,$$

isto é, o vetor $|\psi\rangle_B$ pertence a um subespaço vetorial (\mathbb{V}) de $\mathbb{C}^2(\mathbb{R})$ de dimensão 3 e base $\{|0\rangle, |1\rangle, |\psi\rangle\}$. Como este subespaço está definido sobre o corpo dos reais, ele é isomorfo a \mathbb{R}^3 (Veja [2]).

- Considerando este Isomorfismo, pode-se encontrar uma representação para os q-bits em \mathbb{R}^3 : A *Esfera de Bloch*.
- Considerando a forma polar de um q-bit, expressa na Eq. (4), dizemos que o *Vetor de Bloch* é dado por

$$B|\psi\rangle_B = \begin{bmatrix} \cos(\phi) \sin(\theta) \\ \sin(\phi) \sin(\theta) \\ \cos(\theta) \end{bmatrix}, \quad (6)$$

onde $\phi \in [0, 2\pi]$ e $\theta \in [0, \pi]$.

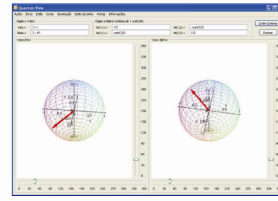


Esfera de Bloch

- A partir da Eq. (6), podemos escrever o seguinte algoritmo em Maple:

```
bloch_vector:=proc(alpha, beta)
local X, Y, Z, arg_alpha, arg_beta,
abs_alpha;
arg_alpha:=argument(alpha);
arg_beta:=argument(beta);
abs_alpha:=abs(alpha);
X:=cos(arg_beta-arg_alpha)
* sin(2*arccos(abs_alpha));
Y:=sin(arg_beta-arg_alpha)
* sin(2*arccos(abs_alpha));
Z:=cos(2*arccos(abs_alpha));
Vector([X, Y, Z]);
end;
```

- E, utilizando o pacote Maplets (veja [1]), conseguimos a interface gráfica vista na figura a seguir.

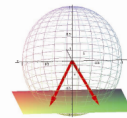


Interface Gráfica - pacote Maplets do Maple.

- Através dessa visualização, podemos observar algumas propriedades da Esfera de Bloch, assim como, podemos utilizar o programa para executar a aplicação de *portas quânticas de um q-bit* (veja [4], p. 17).

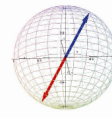
Propriedades da Esfera de Bloch

- 1ª Propriedade:** Quaisquer dois vetores de Bloch que pertençam ao mesmo plano, paralelo ao plano XY, representam q-bits que têm probabilidades iguais de produzirem $|0\rangle$ ou $|1\rangle$, ao serem medidos.



Vetores com o mesmo θ .

- 2ª Propriedade:** Quaisquer dois vetores de Bloch antípodas são representantes de dois q-bits ortogonais.



Vetores de Bloch antípodas.

- 3ª Propriedade:** Considere dois q-bits $|\psi\rangle$ e $|\psi'\rangle$, então podemos dizer que:

$$|\psi'\rangle = e^{i\delta} |\psi\rangle \text{ se e somente se } |\psi\rangle \text{ e } |\psi'\rangle \text{ tem Vetores de Bloch iguais, } \forall \delta \in [0, 2\pi].$$

Portas Quânticas de um Q-Bit

- Das matrizes de Pauli, surge uma outra classe de matrizes, as *Matrizes de Rotação* sobre os eixos \hat{x} , \hat{y} e \hat{z} , definidas como

$$R_x(\theta) \equiv e^{-i\frac{\theta X}{2}}, \quad R_y(\theta) \equiv e^{-i\frac{\theta Y}{2}}$$

$$e \quad R_z(\theta) \equiv e^{-i\frac{\theta Z}{2}},$$

onde

$$X \equiv \begin{bmatrix} 0 & 1 \\ 1 & 0 \end{bmatrix}, \quad Y \equiv \begin{bmatrix} 0 & -i \\ i & 0 \end{bmatrix},$$

$$Z \equiv \begin{bmatrix} 1 & 0 \\ 0 & -1 \end{bmatrix},$$

são as matrizes de Pauli.

- A partir das matrizes de Rotação, que representam rotações em torno dos eixos x , y e z na esfera unitária do \mathbb{R}^3 , podemos observar o comportamento de portas quânticas de um q-bit utilizando os seguintes resultados:

- Seja U um operador unitário de um q-bit, então

$$U = e^{i\alpha} R_{\hat{n}}(\theta), \quad (7)$$

onde $\alpha, \theta \in \mathbb{R}$ e $\hat{n} = (n_x, n_y, n_z) \in \mathbb{R}^3$ é um vetor unitário.

- (Decomposição Z-Y) Seja U um operador unitário de um q-bit, então existem $\alpha, \beta, \gamma, \delta \in \mathbb{R}$ tais que

$$U = e^{i\alpha} R_z(\beta) R_y(\gamma) R_z(\delta). \quad (8)$$

- (Decomposição X-Y) Seja U um operador unitário de um q-bit, então existem $\alpha, \beta, \gamma, \delta \in \mathbb{R}$ tais que

$$U = e^{i\alpha} R_x(\beta) R_y(\gamma) R_x(\delta). \quad (9)$$

- A partir desses resultados podemos concluir que as portas quânticas de um q-bit se comportam como um conjunto de rotações na Esfera de Bloch. Vejamos um exemplo com a porta de Hadamard.

Exemplo com a Porta de Hadamard

- A Porta de Hadamard, definida por

$$H = \frac{1}{\sqrt{2}} \begin{bmatrix} 1 & 1 \\ 1 & -1 \end{bmatrix},$$

é uma das mais usadas na Computação Quântica. Como a porta de Hadamard é um operador unitário, podemos escrevê-lo na forma da Eq.(7). Assim,

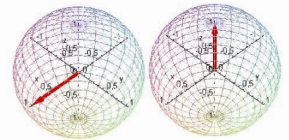
$$H = e^{i\frac{\pi}{2}} R_{\hat{n}}(\pi),$$

onde $\hat{n} = (\frac{1}{\sqrt{2}}, 0, \frac{1}{\sqrt{2}})$.

- Ou seja, a porta de Hadamard, na Esfera de Bloch, se comporta como uma rotação de 180° em torno do vetor $\hat{n} = (\frac{1}{\sqrt{2}}, 0, \frac{1}{\sqrt{2}})$.
- Também podemos escrever a porta H em função das matrizes de rotação em torno dos eixos x e y , segundo a Eq. (8). Assim,

$$H = e^{i\frac{\pi}{2}} R_z(0) R_y(\frac{\pi}{2}) R_z(\pi),$$

ou, tendo em vista que $R_z(0) = I$, $H = e^{i\frac{\pi}{2}} R_y(\frac{\pi}{2}) R_z(\pi)$, o que, na Esfera de Bloch, caracteriza uma rotação de 90° em torno do eixo y seguida de uma rotação de 180° em torno do eixo z , como mostra a figura a seguir, que foi obtida através do programa.



Aplicação da porta de Hadamard no vetor $|\psi\rangle = \frac{1}{\sqrt{2}}(|0\rangle + |1\rangle)$. À esquerda, temos a representação deste vetor na esfera, i.e., $B(|\psi\rangle)$, já à direita temos a representação de $H(|\psi\rangle)$.

- Em nosso trabalho, também observamos as portas S (Phase Gate) e $\frac{\pi}{8}$, além da porta de Hadamard.

Referências

- [1] Maplets beginner's guide. Waterloo Maple Inc., 2001.
- [2] L.M. Carvalho, C.C. Lavor, and V.S. Motta. Descrição matemática da esfera de bloch. *Anais do VII Encontro de Modelagem Computacional*, pages 1-9, 2004.
- [3] L.M. Carvalho, C.C. Lavor, and V.S. Motta. Portas quânticas e a esfera de bloch. *submetido a TEMA*, Agosto 2004.
- [4] M.A. Nielsen and I.L. Chuang. *Quantum Computation and Quantum Information*. Cambridge University Press, Cambridge, 2000.
- [5] R. Portugal. Introdução ao maple. 2002.
- [6] R. Portugal, C.C. Lavor, L.M. Carvalho, and N. Maculan. *Uma Introdução à Computação Quântica*, volume 8. Sociedade Brasileira de Matemática Aplicada e Computacional (SBMAC), São Carlos, 1st edition, 2004.